

東京大学工学部土木工学科

正員 玉井 信行

東京大学工学部土木工学科

正員 ○河原 能久

1. はじめに

一次元開水路漸度流の解析において、Manningの抵抗則が広く利用されているが、粗度係数のもう物理的意味は、必ずしも明確ではない。水理条件と明確に結びついた剪断応力の適切な評価が重要な課題であると考えられる。本報は、固定床流れにおいて、水路幅の変化に伴う粗度係数の変化を検討しようとするものである。

表 - 1

	幅變化率 $\frac{dB}{dx}$	幅 B_{km}	水路床 勾配 I
Run 1	0	36.2	1/500
Run 2	0	28.2	1/500
Run 4	0.0154	24.4*	1/500
Run 5	0.0154	24.4*	1/1000
Run 7	-0.0164	29.7*	1/500
Run 8	-0.0164	29.7*	1/1000

(*印は、代表幅と不ず)

2. 実験の概要

長さ 20 m、幅 40 cm の可変勾配水路の内側に、粒径約 3 mm の均一な砂粒粗度と密にはりつけに平板板、平行、漸面、漸縮の状態に設置し、実験水路とした。実験条件は、表 - 1 に示すようである。各実験ケース内での水理条件の変化は、流量により行はる。測定事項は、流量（オリフィスメータ利用）、水深（砂面計）、流速分布（直徑 1 cm のプロペラ流速計、ピトー管）である。

3. 剪断応力、粗度係数の算出

一次元漸度流のエネルギー方程式は、長方形断面水路の定常流に対して、次のようになる。

$$\frac{C_0}{\rho g K} = I - \frac{dI}{dx} (1 - Fr^2) + Fr^2 \cdot \frac{h}{B} \cdot \frac{dB}{dx} \quad \cdots (1)$$

ここで C_0 : 剪断応力、 ρ : 水の密度、 g : 重力加速度、 K : 径深 ($= B^2 / B_{km}$)、 I : 水路床勾配、 h : 水深、 B : 水路幅、 Fr : フルード数 ($= \sqrt{I} / g h$)、 α : エネルギー補正係数、 I : 平均流速抵抗則として、Manning式を用ひると、次式を得る。

$$\frac{C_0}{\rho g K} = \frac{\alpha^2 J^2}{K^2} \quad (\alpha; Manning の 粗度係数) \quad \cdots (2)$$

(1), (2) の両式を用ひて、剪断応力、あるいは、粗度係数の値を求める。ここでは、次に示す <1>, <2> の方法により計算した。ただし、いずれの方法も、ある区間の代表量として算定される。

<1> の方法： エネルギー勾配と用いる方法

これは、(1) 式の右辺(エネルギー勾配)と、測定された水理量から定められる区間の代表水理量と用いて計算し、剪断応力、粗度係数の値を算出する方法である。

<2> の方法： 基礎式(1), (2) より水頭形と追跡する方法

区間内での粗度係数は一定と見て、測定された水頭形と最も忠実に再現する時の値と、区間の粗度係数とする。この値と、代表水理量と用ひて、剪断応力を算出する。

4. 実験結果と考察

4.1 流速分布 まずは 1.2 (l/sec) の流量に対する横断方向

及び鉛直方向の流速分布は、それぞれ、図 - 1, 図 - 2 のよ

うである。横断方向の測定は、水路床より水深の 4 割の高さ

にて、プロペラ流速計により行はる。鉛直方向の分布形は、

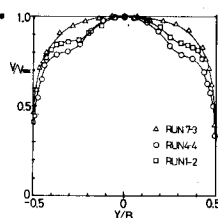


図 - 1

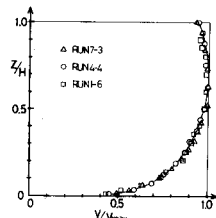


図 - 2

水路中心面内で、ピトー管を使用して測定したものである。横断方向の分布形は、幅が広がるにつれ、中央部が尖る傾向を示している。流量増加とともに、偏平になる傾向がみられた。鉛直方向の分布は、3ケースとも同様の傾向を示し、明確な差異は認められない。また、流速分布は、水路床近くでは対数則にのつたが、鉛直方向の測定ケースが少なく、流量変化とともにう分布形の変化は明らかではない。

4.2 代表水理量の算定 水深変化率の代表値は、測定された水間形と一次式で近似したときの勾配とした。また、代表水路幅は、区間での平均通とし、代表水深としては、代表水路幅と同一の水路幅をもつ位置における水深とした。ただし、測定区間は、下流端より約6mの位置より4~6m上流側であった。

4.3 粗度係数の算出 上記の方法<2>により算出された粗度係数と、代表水深・代表水路幅比 H/B との関係をグラフにしたもののが、図-3である。全体的な傾向として、漸拡水路の粗度係数が最も大きく、漸縮水路のものが最も小さい。なお、水深変化率、フルード数の影響が入っており、ばらつきも大きい。また、方法<1>で計算された粗度係数と、方法<2>による値とは、いずれの実験ケースにおいても良い一致をみた。

4.4 剪断応力の算定について 式(1)の右辺と、左辺の項を除すと、次のようになる。

$$I = T_1 + T_2 + T_3 \quad \cdots (3)$$

$$T_1 = \frac{I}{\tau_0/PGR}, \quad T_2 = -\frac{\partial^2}{\partial x^2}(1-\tau)^2 / \tau_0 PGR, \quad T_3 = \frac{I\tau^2}{B} \frac{\partial}{\partial x} / \tau_0 PGR$$

代表水理量を用いて、3項 T_1, T_2, T_3 の大きさを比較したのが、図4-1

4-2, 4-3である。これらより、次の事が知られる。今回の実験では、

一様水路においても等流状態が実現されず、下流端の影響が無視しえない。

流量が大きくなるにつれ、また、同一流量に対しては水路幅が

狭いほど、水深変化の効果が大きくなる。漸拡水路においては、フルード数の増加とともに剪断応力に占める幅変化の項の割合が、水路床勾配による項より大きくなっている。流量の増大とともに水深変化率($\frac{\partial h}{\partial x}$)は増

加しているが、剪断応力への寄与は小さい。しかし、水路床勾配が小さくなるにつれ、また、フルード数が小さくなるにつれ、水深変化による影響が大きくなる。漸縮水路では、 $T_3 < 0, T_2 > 0$ (今回の実験では)である。

水路床勾配、水深変化、水路幅変化による項のいずれとも無視しない。

また、径深と τ_0/PGR との関係を調べると、同一の経深通に対し、 τ_0/PGR

の値は、漸拡、一様幅、漸縮の順に小さくなることが知られる。

5. 結論

下流端の影響、水路幅変化の接続部の影響等が、検討されていないが、実験範囲内では、一様幅水路、漸拡水路、フルード数の小さな漸拡水路では水深の変化による影響は無視しえない。

なお、今回の結果とともに、マクロな観点からの漸変流の剪断応力の算定について考えた。また、末尾ながら、助言をいただいた河西 基氏(電力中央研究所)と、実験データを利用させていたいた山 勉東(東京大学大学院)に感謝いたします。

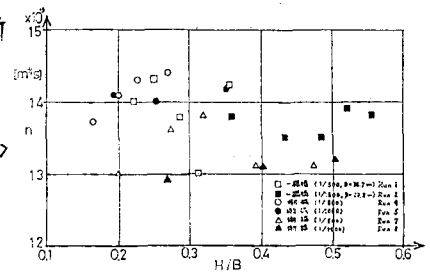


図-3

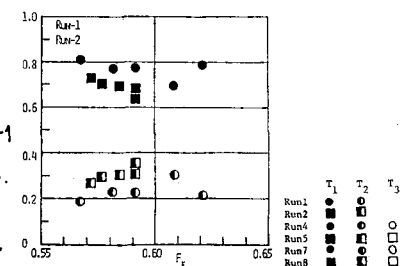


図 4-1

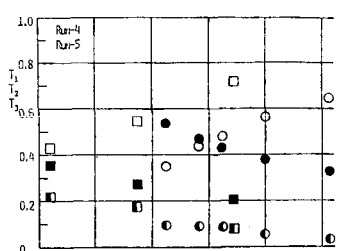


図 4-2

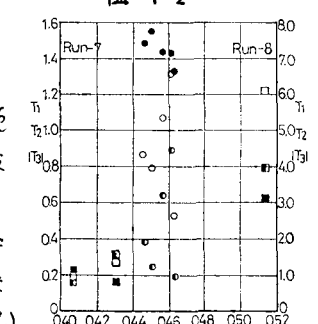


図 4-3